

مقاله‌نامه بیست و سومین کنفرانس بهاره فیزیک (۱۳۹۵-۲۹-۳۰) اردیبهشت

طراحی و تحلیل محیطی برای کاهش سرعت امواج الکترومغناطیسی مایکروویو

رضوی، سید محمد جواد^۱؛ نعیم آبادی، شهریار^۲

^۱ گروه مخابرات، دانشکده برق مالک اشتر

^۲ گروه فیزیک، دانشکده علوم پایه بیرجند

چکیده

به امواج الکترومغناطیسی با طول موج کمتر از امواج رادیویی و بیشتر از امواج فروسرخ، ریزموچ گفته می‌شود. که ما در این مقاله باند ایکس این امواج را مورد بررسی قرار می‌دهیم. در این مقاله، به بیان روش محاسبه سرعت، توصیف تاثیرگذاری محیط‌های اطراف (دی الکتریک) و موادی با ضرایب شکست‌های گوناگون (فرومغناطیسی، دیامغناطیسی، آلیاژهای ترکیبی) و ضرایب شکست منفی (نانوساختارهای میله‌ای-فرا موادها) و تداخل گرهای گوناگون بر کاهش سرعت این دسته امواج مایکروویوی باند X خواهیم پرداخت، و میزان کاهش افت زمانی انرژی این امواج هنگامی که از یک محیط دی الکتریک عبور می‌نمایند را محاسبه خواهیم نمود. باید اشاره کرد که ما در این مقاله با مطالعه بر روی کاواک‌های مکعبی، تغییرات سرعت و نمودار پاشندگی این دسته از امواج را نسبت به فرکانس گسیلی این باند را با برنامه مطلب شبیه سازی نمودیم. که کاهش سرعت این امواج در جلوگیری از اثرات تغییری بمب‌های الکترومغناطیسی (E-BOMB) کاربرد گسترده‌ای دارد.

کاهش سرعت امواج مایکروویو باند ایکس تحت برهمکنش با مواد گوناگون

فرکانس باند X بین ۸ الی ۱۲ گیگا هرتز می‌باشد. و تغییرات طول موج این باند بین ۲۵ میلی متر الی ۳۷.۵ میلی متر است.

که برای نمونه به محاسبه تغییرات سرعت این دسته از امواج هنگامی که با مواد هایی که دارای خاصیت مغناطیسی گوناگون (مواد اپتیکی، فرومغناطیسی، پارامغناطیسی، دیامغناطیسی) و ضرایب شکست متفاوت است، می‌پردازیم.

جدول ۳- کاهش سرعت باند ایکس به ازای ضرایب شکست موادی با خاصیت‌های الکتریکی و مغناطیسی و فرمغناطیسی گوناگون (در دمای اتاق)

Material	μ_r	$V_x \text{ band}(10^8) \frac{m}{s}$
Ferrite (nickel zinc)	640	0.11
Nickel	600	0.12
Per molloy	8000	0.033
Cobalt-Iron	18000	0.022
Material	K_m	$V_x \text{ band}(10^8) \frac{m}{s}$
آهن	۵۵۰۰	0.04
مومنتال	۱۰۰۰۰	0.0094
فریت منگنز	۲۵۰۰	0.06

جدول ۴- کاهش سرعت باند ایکس به ازای ضرایب شکست موادی با خاصیت‌های الکتریکی و مغناطیسی و پارامغناطیسی و دیامغناطیسی گوناگون

Material	X_m	n	$V_x \text{ band}(10^8) \frac{m}{s}$
منزیزم	۱، ۲	1.48	2.02
تیتانیوم	۱۸	4.35	0.68
بیسموت	-۱۶، ۴	3.92	0.76
تنگستن	۷، ۹	2.93	1.02

جدول ۱- کاهش سرعت باند ایکس به ازای ضرایب شکست مواد و آلیاژهای ترکیبی و مواد اپتیکی گوناگون

Material	n	$V_x \text{ band}(10^8) \frac{m}{s}$
Silicon	3.48	0.86
Germanium	4.01	0.74
Gallium(phosphide)	3.05	0.98
Cubic zirconia	2.15	1.39
Pyrex	1.47	2.04
crvolite	1.33	2.25
Petg	1.57	1.91
Water	1.34	2.23

جدول ۲- کاهش سرعت باند ایکس به ازای ضرایب شکست مواد مغناطیسی گوناگون

Material	ϵ_r	$V_x \text{ band}(10^8) \frac{m}{s}$
PTEE	2.1	2.07
Polyimide	3.4	1.62
Paper	3.85	1.52
Mica	6	1.22
Sapphire	11.1	0.90

مقاله‌نامه بیست و سومین کنفرانس بهاره فیزیک (۱۳۹۵-۲۹-۳۰) اردیبهشت

کاهش سرعت امواج الکترومغناطیسی مایکروویو تحت برهمکنش با موادی با ضریب شکست منفی (فرا موادها)

این مواد دارای ضرایب شکست منفی می‌باشد، که می‌توان در ۲ دسته آنها را طبقه‌بندی نمود. در گروه اول موادی قرار می‌گیرند که گذر دهی الکتریکی آنها منفی می‌باشد. مانند، فلزات در فرکانس‌های نوری و شبکه سیمی در فرکانس‌های پایین. در گروه دوم موادی قرار می‌گیرند که گذر دهی مغناطیسی منفی دارند. مانند، تشدید گرهای حلقه‌ای مجزا و استوانه‌ای فلزی. البته باید متذکر بشویم که مثلاً در حالت تولید شبکه سیمی در فرکانس‌های پایین که تولید ضرایب شکست منفی می‌کنند، از نانو میله‌های طلایی موازی استفاده شده است که یک ضریب شکست منفی در نزدیکی مادون قرمز رخ می‌دهد. که به عنوان مثال ما به بررسی تغییرات سرعت امواج ماکروویو باند ایکس، هنگامی که با فلزاتی در فرکانس‌های نوری برهمکنش می‌کنند، می‌پردازیم.

جدول ۵- جدول تغییرات سرعت امواج الکترومغناطیسی مایکروویو باند ایکس تحت برهمکنش با فلزات در فرکانس‌های نوری				
	$\epsilon(\omega) = 1 - \frac{\omega_p^2}{\omega(\omega+iy)}$ - گذر دهی الکتریکی فلز	$\omega_p = \sqrt{\frac{n\epsilon_0}{m}}$ فرکانس پلاسمای الکتریکی		
Material	Li	Na	K	Rb
$\omega_p(10^{16}s^{-1})$	1.22	0.89	0.593	0.55
$\lambda_p(A)$	1550	2100	3150	4500
Material	$\epsilon(\omega)(10^{10})$	$\epsilon(\omega)_0(10^{10})$	$V_x \text{ band } 10^8 \frac{m}{s}$	$V_x \text{ band } 10^8 \frac{m}{s}$
Li	۲، ۶۰	۵، ۸۶	۰، ۴۲	۰، ۶
K	۰، ۶۱	۱، ۳۸	۰، ۸۵	۱، ۲۹
Rb	۰، ۵۲	۱، ۱۸۸	۰، ۹۲	۱، ۴۰

کاهش سرعت امواج مایکروویو باند ایکس بر محیط‌های دی الکتریکی

اگر ساده‌ترین حالت محیط‌های دی الکتریک یعنی خطی، غیرپاشنده، همگن و ایزوتropیک، را در نظر بگیریم، که علاوه بر محاسبه تغییرات سرعت به بررسی نوع و تغییرات موج ورودی و نوع موج خروجی پس از برهمکنش نیز خواهیم پرداخت.



شکل ۱- یک محیط خطی، غیرپاشنده، همگن و ایزوتropیک تماماً با یک ثابت مشخص می‌شود. (حسابات الکتریکی)

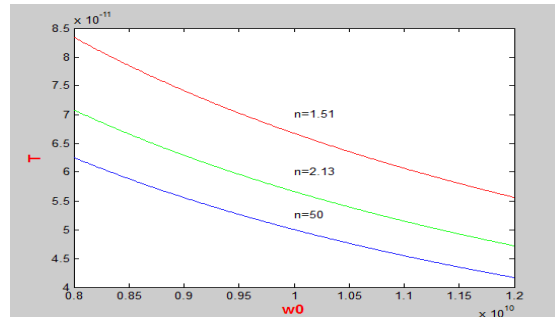
جدول ۶- جدول تغییرات میدان و قطبش امواج الکترومغناطیسی مایکروویو باند ایکس تحت تاثیر محیط‌های دی الکتریکی متفاوت		
$p = \epsilon_0 x E$	X band	
$p = \epsilon_0(n^2 - 1)E$	F(GH)	
$p = \epsilon_0(k - 1)E$	8-12	
$E(r, t) = E_0(\sin\omega t - kr)$	$\lambda(\text{mm})$	
$\Delta P = \epsilon_0 \Delta(n^2 - 1)E = 2\epsilon_0 n \Delta n E$	25-۳۷/۵	
ثابت تراو ایسی نسبی		نوع محیط
5500		آهن
100000		مومنتال
2500		فریت نیکل
2500		فریت منگنز
X BAND		
E_I	فریت نیکل - $P = \epsilon_0(k - 1)E \rightarrow p = 8.85 \times 10^{-3} \times 0.21 \times 2499 \sin(50.24t - 167.46r)$	
$E = 0.21 \sin(50.24t - 167.46r)$		

مقاله‌نامه بیست و سومین کنفرانس بهاره فیزیک (۱۳۹۵-۲۹-۳۰) اردیبهشت

شبیه سازی افت زمانی انرژی در امواج الکترومغناطیسی مایکروویو

با استفاده از برنامه مطلب افت زمانی انرژی (اتلاف انرژی متوسط) یک موج الکترومغناطیسی مایکروویو با ندایکس که تحت تاثیر یک محیط دی الکتریک قرار گرفته است، بر طبق روابط و نمودار زیر محاسبه شده است.

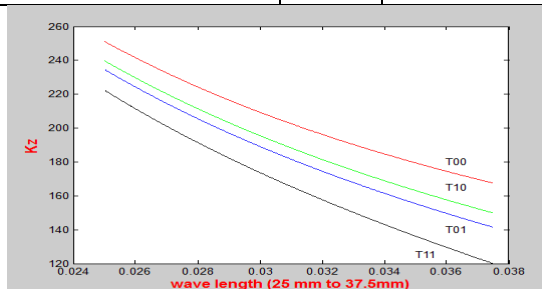
جدول ۷- افت زمانی انرژی امواج مایکروویو	
X band (۱۹-۲)	
F(GH)	8-12
λ (mm)	25-۳۷ / ۰
ضریب دی الکتریک محیط	نوع محیط دی الکتریک
۴ / ۰	الومینیوم اکسید
۰	فریت نیکل



نمودار ۲- نمودار افت زمانی انرژی یک موج الکترومغناطیسی مایکروویو با ندایکس نسبت به گستره فرکانس ورودی به محیط دی الکتریک

شبیه سازی نمودار پاشندگی یک موج مایکروویو با ندایکس در کاواکی مکعبی

جدول ۸- ساختار کاواک مکعبی در ندایکس	
X band	
F(GH)	8-12
λ (mm)	25-۳۷ / ۰



نمودار ۳- نمودار پاشندگی امواج الکترومغناطیسی مایکروویو با ندایکس با استفاده از برنامه مطلب

نتیجه گیری

کاهش سرعت امواج الکترومغناطیسی مایکروویو در جلوگیری از اثرات تخریبی بمب های الکترومغناطیسی (E-BOMB) کاربرد گسترده ای دارد. و می توان با پیشنهادات زیر مواد و محیطی مناسب جهت کاهش امواج این نوع بمب ها، استفاده نمود. در بررسی و محاسبات انجام شده می توان به طور خلاصه به این نتایج رسید که برای کاهش بیشتر سرعت امواج الکترومغناطیسی مایکروویو با ندایکس بهتر است به ترتیب این محیط های دی الکتریک (مانند مو متال یا پرمالمی در گستره ۰,۰۱۳ الی ۰,۰۹۴) ۱-محیط هایی با خاصیت های پارا مغناطیسی (مانند بیسموت یا تیتانیوم یا گادیوم کلرید در گستره ۰,۰۶ الی ۰,۰۲) ۲-محیط هایی با خاصیت های پارا مغناطیسی (مانند نانو پرن یا کالت آهن در گستره ۰,۰۵ الی ۰,۰۱) ۳-فرومغناطیسی (مانند نانو پرن یا کالت آهن در گستره ۰,۰۴ الی ۰,۰۲) ۴- مواد دیا مغناطیسی گراناگون ۵-محیط هایی که حاوی مواد آلیاژی

مقاله‌نامه بیست و سومین کنفرانس بهاره فیزیک (۱۳۹۵-۲۹-۳۰ اردیبهشت)

و مواد اپتیکی (مانند SI-GE-TITADioxis) در گستره ۰,۱۳ الی ۰,۲۲ موادی با ساختارهای نانویی و فراموادها (مانند موادی که دارای ضریب گذرهای الکتریکی منفی می‌باشند Na-Rb-Li) در گستره ۰,۶ الی ۰,۴). البته در این طرح بررسی عمق پوسه، ضریب نفوذ، کاهش زمانی انرژی (با استفاده از برنامه مطلب) این دسته از امواج نیز پرداخته شده است. و برای آنکه دیدی کامل تر داشته باشیم با استفاده از برنامه‌ی مطلب نمودار پاشندگی این دسته از امواج را هنگامی که از فضای مکعبی شکل با ابعاد مفروض عبور داده می‌شود رسم نموده ایم. مواد پیشنهادی در جداول و نمودارها باید توسط یک مهندس مواد ارزیابی گردد. که آیا از نظر تولید می‌توانند مقرون به صرفه باشد یا خیر، همچنین ابعاد طرح نیز حائز اهمیت می‌باشد. امروزه با ساختن و طراحی محیط‌های متأ موادی و کاوک‌های اپتیکی حاوی مواد‌هایی با ضریب شکست منفی، نتایج مناسبی برای کاهش سرعت امواج به وقوع پیوسته است. که نیازمند به علم نانو مواد هستیم. امروزه تلاش جهانی را فیزیکدانان برای کاهش سرعت نور انجام می‌دهند.. می‌توان با مشابه سازی عوامل کاهش دهنده سرعت نور، همین مواد را برای امواج مایکروویو نیز به کار برد. که کاهش سرعت امواج در ابعاد نظامی کاربرد گسترده‌ای دارد می‌باشند.

مرجع‌ها

- [1] Gaponov-Grekhov A V and Granatstein V L, Eds., *Applications of High-Power Microwaves*. Boston, MA: Artech House, 1994.
- [2] Pozar, David M. (1993). *Microwave Engineering* Addison-Wesley Publishing Company. ISBN 0-201-50418-9.
- [3] Shelby, R. A.; Smith D.R.; Shultz S.; Nemat-Nasser S.C. (2001). "Microwave transmission through a two-dimensional, isotropic, left-handed metamaterial". *Applied Physics Letters* 78 (4): 489.
- [4] Palik (ed.) (1991) *Handbook of Optical Constants of Solids II*, Academic Press, London